

钢珠式精密蜗轮副

方自达 朱民生 合編

(内部資料 注意保存)



国防工业出版社

TG

鋼珠式精密蝸輪副

方自達 朱民生 合編

國防工業出版社出版

北京市书刊出版业营业登记证字第074号

国防工业出版社印刷厂印装 内部发行

850×1168 1/32 印张 11/16 18 千字

1965年12月第一版 1965年12月第一次印刷 印数：0,001—3,000册

统一书号：N15034(活)-65 定价：(科六) 0.14元



NS
P
02

一、鋼珠式精密蝸輪副的特点与应用范围

1 特 点

鋼珠式蝸輪与蝸杆系傳动原件，蝸輪是由蝸輪盤和鋼珠（輪齒）等零件裝配而成的。蝸杆在外形上与一般圓弧面蝸杆較相似，所不同的是在其法向截面上具有圓弧線齒廓，故称为鋼珠圓弧面蝸杆。用它与鋼珠式蝸輪相啮合进行运动的傳递。

这种蝸輪副与一般蝸輪副相比較，具有如下优点：

1) 精度高 根据对已制成的鋼珠式蝸輪进行測量的結果：蝸輪直徑 D_0 在 200~320 毫米范圍內时，鋼珠（輪齒）直徑 $d = 12$ 毫米，其运动誤差为 15 秒，周期誤差为 5 秒。蝸輪直徑 D_0 在 120~200 毫米范圍內时，鋼珠直徑 $d = 10$ 毫米，其运动誤差为 14 秒，周期誤差为 4 秒。接近于 (JB) 162-60 所規定的 4 級~3 級精度。

2) 重迭系数大，工作平稳 蝸輪的直徑 D_0 在 120~400 毫米范圍內时，啮合中同时参加工作的輪齒一般为 5~8 个齿，約占总齒数的 $\frac{1}{10}$ 左右。而普通蝸輪同时参加工作的輪齒 約为 1~3 个齿。

由于重迭系数大，精度高，这就保証了蝸輪副工作时具有良好的平稳性。

3) 制造容易，生产周期短 蝸輪組合件的制造、装配与調校均比較簡單，不需要特殊的設備和复杂的工具。各个組合件所用的材料也是一般的鋼材，用作輪齒的鋼珠可以外购，所以生产周期短。一般制造一付鋼珠式精密蝸輪副所需的时间相当于制造一付中等复杂工具所需的时间。

鋼珠式精密蝸輪副的最大缺点是徑向推力大。当輸出功率大和蝸輪軸剛度不足时，会造成蝸輪主軸的弯曲变形，从而破坏了

原有的啮合性能。

2 应用范围

鋼珠式精密蝸輪副与一般普通精密蝸輪副的功用相同，可以在傳动比和瞬时傳动比变化要求严格的情况下作为运动的傳递。例如用于作为滾齿机、磨齿机、刻度机和座标鐘床等精密机床上的分度蝸輪副，亦可用作其他精密分度机构（如精密分度头、分度夹具上的傳动部分）。

如果将精密蝸輪副分为工作精密蝸輪副和母蝸輪副（不包括动力蝸輪副）两种，那么上述精密机床上的分度蝸輪副，则称它为工作精密蝸輪副。这种蝸輪是在滾齿机上或与滾齿原理完全相同的机构上滾切的。为使工作精密蝸輪具有一定的精度，制造这种蝸輪所用的滾齿机或滾齿机构的分度蝸輪，必须具有更高的精度，因为在普通的滾齿机上滾切的蝸輪，其精度一般要比該滾齿机本身分度蝸輪的精度低。

用来加工工作精密蝸輪的滾齿机或滾齿机构上的分度蝸輪副，称它为母蝸輪副，而鋼珠式精密蝸輪副即为最合适的母蝸輪副。

3 应用实例

图1、图2为安装在普通滾齿机Y-38A机床上，利用原机床的动力驅动加工450和472座標鐘床分度蝸輪的一种机构。

图3为上述机构的主軸部件。套管2及軸套3装在主軸1上，并用螺母4压紧，与左侧的鋼珠式分度蝸輪5組成主軸部件的迴轉体。前后主軸軸承6、7鑲入支座8的配合孔中。支座8直接装在机床工作台面上。主軸1的右端制成花盤式的台面結構，用于夾压蝸輪。

图4为上述机构的俯視傳动示意图。加工时，动力由傳动軸I經過原机床刀架中的一对圓錐齒輪副和一对圓柱齒輪副傳至齒

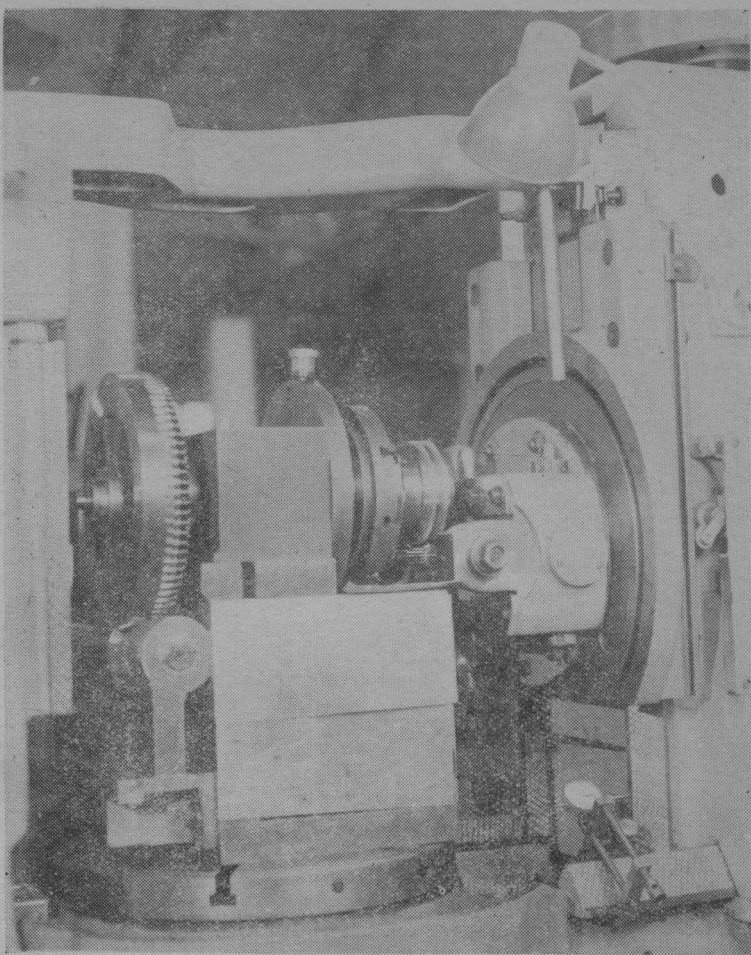


图1 正视图

輪2、3、4，再經過雙向聯軸節帶動鋼珠式分度蝸輪副，即帶動主軸部件10。齒輪2安裝在機床刀杆主軸5的端頭，它與中間齒輪3相啮合，中間齒輪3與齒輪4相啮合，它們的輪軸由直角支架6支撐，支角支架用螺釘固緊在原機床刀架壳體上。加工中借助于安裝在床身上的兩個千分表（見圖1），控制裝在刀杆7

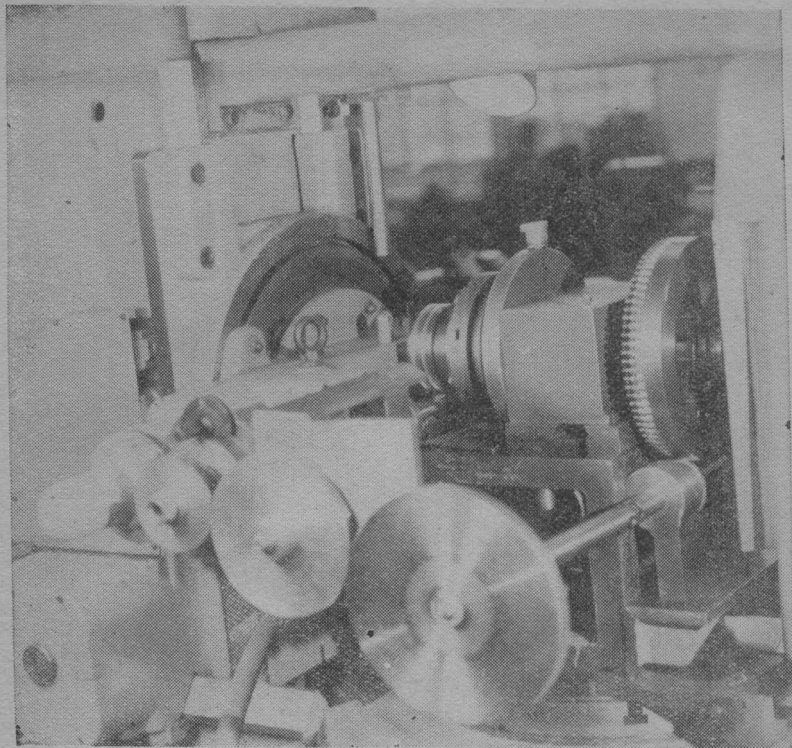


图 2 后视图

上的滾刀 9 相对于輪坯 8 軸向与徑向的進刀位置。

这种机构的优点：

- 1) 分度傳动鏈很短，而又以鋼珠式精密蝸輪副作为机构的分度蝸輪副，故具有較高的分度傳动精度。
- 2) 蝸輪加工精度不受原机床精度的限制。
- 3) 結構简单，制造容易。
- 4) 齒輪 2、4 的傳动比，可以对不同齒数与模数的蝸輪进行加工，即具有一定范围的通用性。

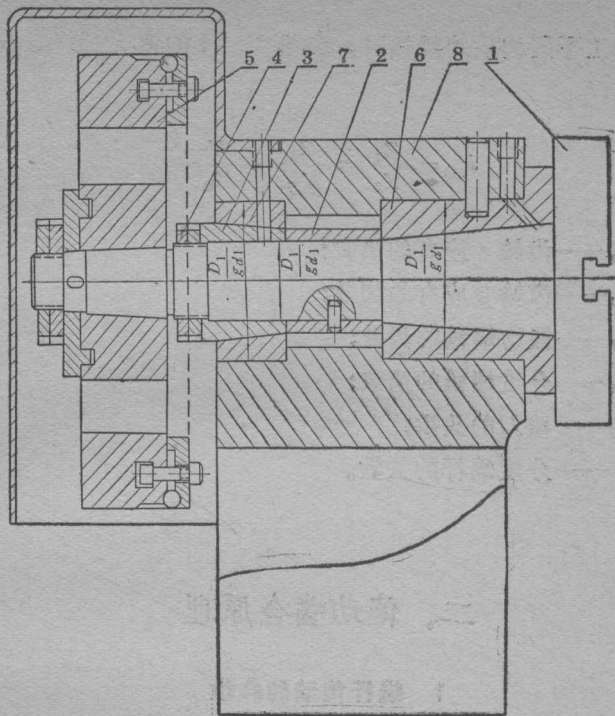


图 3

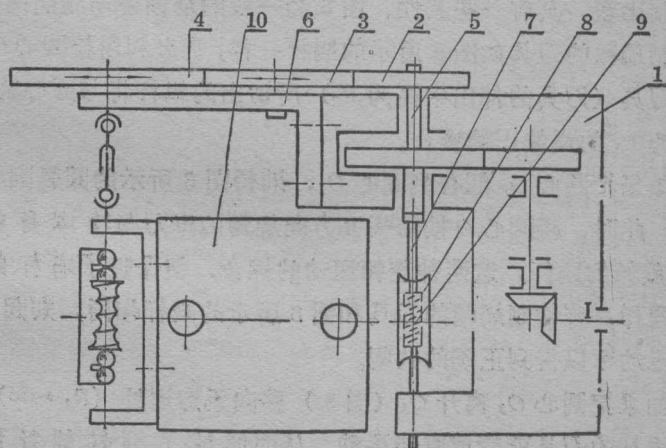


图 4

对加工不同齿数的蜗轮时，齿轮2、4的传动比 $i_{2,4}$ 应按下式计算：

$$i_{2,4} = \frac{Z_4}{Z_2} = \frac{Z_1}{K_n} \cdot \frac{K}{Z_{\text{模}}}$$

式中 Z_4 ——齿轮4应有的齿数；

Z_2 ——齿轮2应有的齿数；

Z_1 ——被切蜗轮的齿数；

$Z_{\text{模}}$ ——分度蜗轮的齿数；

K_n ——滚刀的头数；

K ——分度蜗杆的头数。

二、传动啮合原理

1 蜗杆传动的共性

钢珠式精密蜗轮副是一种新型的传动装置，但与一般圆弧面蜗轮副比较，具有一些共性。图5为一般的蜗轮传动副简图。如果切制蜗轮的刀具如图5所示的蜗杆一样，那么利用绕圆心 O_2 旋转的刀具（刀具的伸出半径为 R_2 ）所切出的蜗杆将与圆心为 O_1 、半径为 R_1 的蜗轮正确啮合。

如果把圆心 O_2 汇合到圆心 O_1 ，则得图6所示的圆弧面蜗杆传动。此时，绕圆心 O 按箭头B方向旋转的车刀与绕本身轴线 O_1O_1 旋转的蜗杆，这两种旋转运动的综合，便保证了蜗杆的切割。同样，若切制蜗轮的刀具和图6所示的蜗杆相同，则圆弧面蜗杆传动可以得到正确的共轭。

如果把圆心 O_2 离开 O_1 （图5）移向无穷远处（ $R_2 \rightarrow \infty$ ），则切制蜗杆的刀具就变成直线运动，从而形成了圆柱蜗杆传动（图7）。

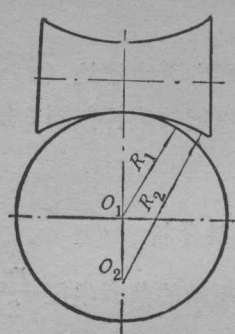


图 5

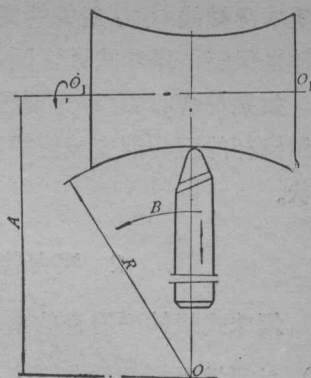


图 6

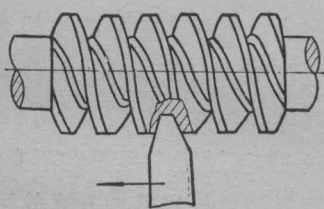


图 7

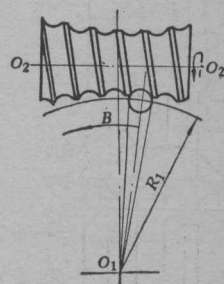


图 8

由此可見，圓弧面蝸杆與圓柱蝸杆傳動乃是蝸杆傳動的兩種特殊情況。

鋼珠圓弧面蝸杆在外形上與一般圓弧面蝸杆較相似，在製造方法上近乎一樣。所不同的是一般圓弧面蝸杆的法向截形為近似漸開線形的，而鋼珠圓弧面蝸杆的法向截形為圓弧線形的。

當伸出半徑為 R_1 繞圓心 O_1 按箭頭 B 方向旋轉的圓弧刀具（刀齒圓弧切削刃直徑 d 等於蝸輪齒的直徑）

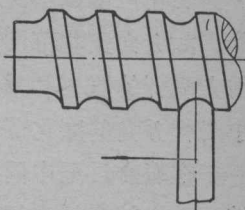


图 9

与绕本身轴线 O_2O_2 旋转的蜗杆(图 8)，这两种旋转运动的综合，同样也保证了钢珠式圆弧面蜗杆的切削。

如果把圆心 O_1 离开蜗杆轴线 O_2O_2 移向无穷远处 ($R_1 \rightarrow \infty$)，切制蜗杆的刀具则变成直线运动，被切制成的蜗杆如图 9 所示的形状。

2 喷合传动与齿的接触分析

钢珠式蜗轮副喷合的基本条件是：蜗轮的节圆半径 $\frac{D_a}{2}$ (图

14) 必须等于蜗杆的节圆半径 R_1 (图 18)，钢珠半径必须等于蜗杆法向截面上圆弧槽半径 r ，分度圆上的齿距必须相等 ($t = t_1$) (图 14)。

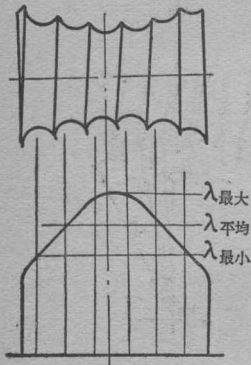


图 10

来确定(见图 10)，即 $\lambda_{\text{平均}} = \frac{\lambda_{\text{最大}} + \lambda_{\text{最小}}}{2}$ 。

因此蜗杆 λ 角的变化会引起螺旋圆弧槽在加工中的工艺误差。当 λ 角变化范围很小时，工艺上可以通过跑合或钢珠挤压加工来消除。如 λ 角变化范围过大时，设计上应设法减少蜗杆的头数，或增大蜗杆的直径和减少啮合中同时参加工作的齿数，这样可以缩小蜗杆 λ 角的变化范围。

在啮合过程中同时参加工作的轮齿接触线长度几乎接近相等，每个轮齿都在蜗杆蜗旋圆弧槽的法向截面内成线性接触。由于 λ 角的存在，轮齿上的接触线与垂直蜗轮轴中央截面亦形成 λ 倾角。随着蜗杆 λ 角变化，在轮齿表面上形成了一个扇形接触区

(图11 a)。經過跑合之后形成了图11 b 所示的接触弧面。

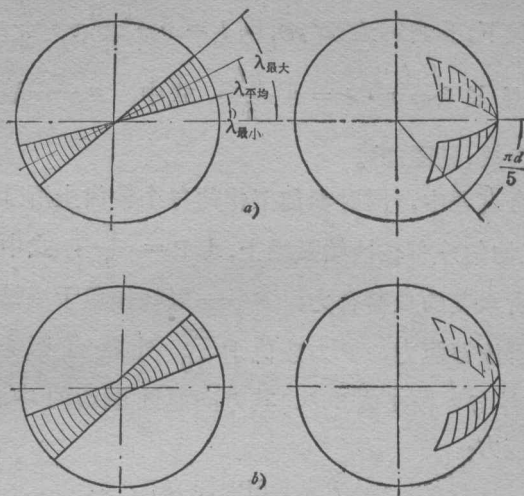


图 11

鋼珠式蜗輪副这种接触特性，将有利于接触表面間潤滑油膜的形成和改善傳动中两元件接触面的滑动摩擦性能。因此減少了啮合中的能量損失，并提高了傳动承载能力。

3 受力分析

由上面分析可知，蜗輪輪齒在啮合过程中接触区始終是輪齒表面上一段圓弧綫，且随着 λ 角的变化，弧綫位置也在不断的变化。由于 λ 角一般变化范围很小，所以在受力分析时，可以将接触弧綫的位置看成是固定不变的。

每个輪齒的极限接触弧长应为 $\frac{\pi d}{4}$ (d —— 鋼珠直徑)，这段弧对应角則为 90° 。实际上为了使蜗杆齿頂具有一定的强度，蜗杆齿頂应留有一定的寬度。当采用鋼珠直徑 $d = 8 \sim 22$ 毫米时，蜗杆齿頂寬 $B = 0.5 \sim 1$ 毫米。則每个輪齒接触弧长 l 所对应的角 β 为

$$\beta = 90^\circ - \cos^{-1} \frac{d - B}{d}$$

在正常情况下， β 角约为 72° ，所以 $l = \beta \cdot \frac{\pi}{180^\circ} \cdot \frac{d}{2} = \frac{\pi d}{5}$ (图11)。接触弧的总长 $L = n \cdot l = n \frac{\pi d}{5}$ ，式中 n —— 喷合中同时参加工作的齿数(见图13)。

在喷合过程中，同时参加工作的每个轮齿上所承受的负荷是相等的，且均匀分布在接触弧线上，即 $P = \frac{F}{n}$ ，式中 P —— 每个轮齿上所承受的负荷合力； F —— 蜗杆作用于蜗轮上的总合力。如不计摩擦阻力， P 力应位于 $\frac{\pi d}{10}$ 处接触弧线的中点 b (图 12)，并与 x 轴交成 36° ，其方向通过轮齿的中心。此时轮齿上的接触应力：

$$\sigma = \frac{P}{l} = \frac{5P}{\pi d} \text{ (公斤/毫米}^2\text{)}.$$

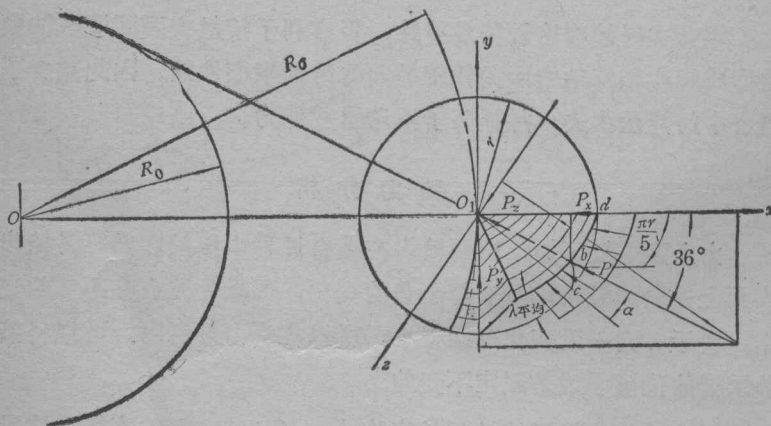


图 12

在图 12 中选择 O_1 (钢珠中心) 作坐标的原点， x 、 y 、 z 分别为蜗轮径向、切向和轴向三个坐标轴。并将 P 力平移到原点 O_1 ，则相应各个方向的总分力为

$$P_{nz} = \pm nP \sin \alpha$$

$$P_{nx} = nP \cos 36^\circ$$

$$P_{ny} = \pm nP \sin 36^\circ$$

(式中土号表示蜗杆正反轉时，作用于蜗輪上的力，方向相反)。

在 $\triangle dbc$ 中 $\widehat{bc} = \lambda_{\text{平均}} \cdot \widehat{cd} = \lambda_{\text{平均}} \cdot \frac{\pi d}{10}$

在 $\triangle O_1bc$ 中 $\widehat{bc} = \alpha \cdot \overline{O_1b} = \alpha \cdot \frac{d}{2}$

所以

$$\alpha = \frac{\pi \lambda_{\text{平均}}}{5}$$

实际上 $\lambda_{\text{平均}}$ 角很小，故 α 和 P_{nz} 很小。这說明蜗輪在啮合中軸向推力較小，在一般情況下，可以忽略不計。

徑向分力 P_{nx} 在工作過程中比切向分力 P_{ny} 大。它不仅不作功且要消耗大量的能量。

此外，在蜗輪主軸剛度不足時， P_{nx} 力會導致主軸弯曲变形，影响蜗輪副的啮合性能。所以在設計和改进鋼珠式蜗輪副時，必須設法減去 P_{nx} 力所带来的不良影响。

P_{ny} 力是蜗杆作用在蜗輪上的圓周切向分力，它推動蜗輪作有效功，所以这个力愈大愈好。

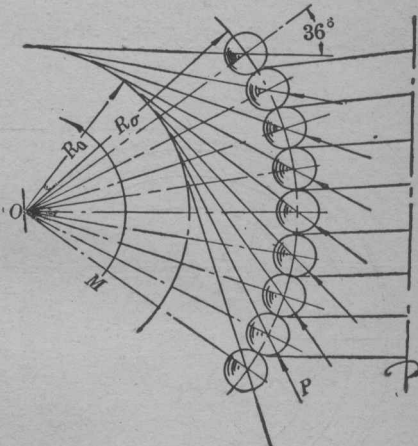


图 13

若蜗輪在工作時加于其上的切削阻力矩為 M (图13)，而外界輸入力矩為 M_1 ，則

$$M_1 = n (P \cdot R_0 \sin 36^\circ) = n (P \cdot R_0) = F \cdot R_0$$

式中 R_0 ——蜗輪分度圓半徑；

R_o ——力臂；

$R_o \sin 36^\circ$ 。

只有当外界的输入力矩 M_1 大于 M 时 ($M_1 > M$)，才能使蜗轮不断克服切削阻力而作功。

三、结构与制造方法

1 蜗轮副的结构

钢珠式精密蜗轮副(图14)是由钢珠式蜗轮与钢珠圆弧面蜗杆相互啮合而组成的传动副。蜗轮是由蜗轮盘1、轮齿2(钢珠)、压板3、压板螺钉4和螺母5等零件组成。将已选好的钢珠放入蜗轮盘圆弧槽内，然后将每一个钢珠用一块压板压紧，即形成了如图所示的钢珠式蜗轮。

钢珠式蜗轮的主要尺寸：节径 D_o 取决于蜗轮副所传递功率

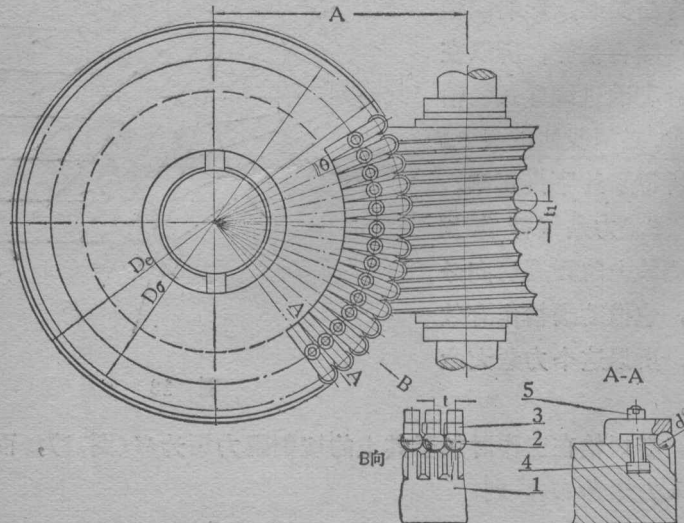


图 14

大小和已定中心距尺寸 A 。 D_σ 值确定之后，鋼珠直徑 d 可参考表 1 选取。如 D_σ 值和蝸輪齒數 Z 均已确定，則 d 值亦可按下式計算：

$$d = D_\sigma \sin \frac{\theta}{2}, \quad \theta = \frac{360^\circ}{Z},$$

式中 θ —— 輪齒（鋼珠）所对应的中心角。

表 1

D_σ (毫米)	d (毫米)	D_σ (毫米)	d (毫米)
100~150	8~10	400~600	16~22
150~250	10~12	600~1000	22~32
250~400	12~16		

鋼珠直徑 d 确定后，压板螺栓直徑可以相应确定，其直徑要小于鋼珠直徑 d ，但压板螺栓又应保証有足够的鎖緊力，而不致在啮合受力过程中使每个鋼珠有位移的可能，所产生的摩擦阻力应滿足下式：

$$F \leqslant \frac{1}{2} n i f v$$

式中 F —— 蝸杆作用于蝸輪上的总合力（由加工中的最大切削力所引起的）；

n —— 噬合中同时参加工作的齒數；

i —— 接触面的数目；

f —— 摩擦系数；

v —— 每个螺栓的許用拉力。

而 $v = [\sigma]_p \frac{\pi d_1^2}{4}$ (公斤)

式中 $[\sigma]_p$ —— 許用拉应力(公斤/毫米²)；

d_1 —— 螺紋的內徑(毫米)。

2 蝸輪盤的結構与制造方法

蜗輪盤是蜗輪的基体，它是用尺寸变形很小的鋼材或經過良

好的时效处理的中碳优质钢制成的，其精度的高低对蜗轮精度有决定性的意义。因此，在加工中必须严格控制好各部分的几何形状、相对位置与尺寸精度。

图 15 为孔型蜗轮盘的结构图，其主要尺寸取决于已定的蜗轮副中心距 A 、蜗轮齿数 Z 和轮齿（钢珠）直径 d 。蜗轮盘的各部尺寸计算如下：

$$\text{外径: } D_{e1} = D_o + 0.95 d$$

$$\text{厚度: } H \geq 50 \text{ 毫米}$$

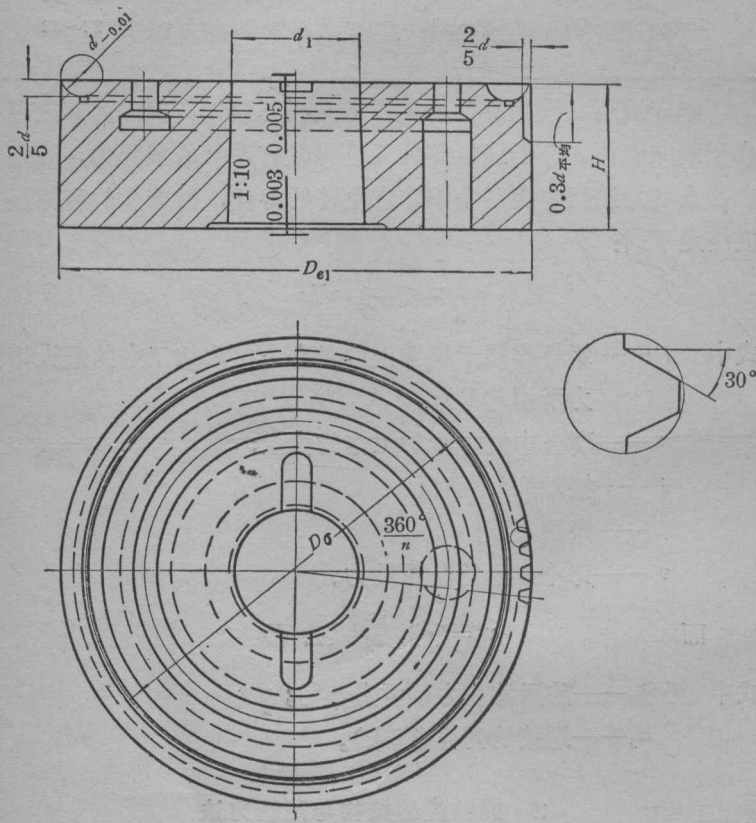


图 15

$$\text{圆弧槽深度: } -\frac{2}{5} d$$

$$\text{外缘槽形齿高: } -\frac{2}{5} d$$

$$\text{外缘槽形齿长: } \frac{3}{10} d_p \quad (d_p \text{——蜗杆喉径}) \text{ (图 18)}$$

中心锥孔小端直径 d_1 值愈大，蜗轮轴的刚度愈好。所以，在其他结构尺寸许可的条件下， d_1 应尽可能选得大些。蜗轮盘上圆弧槽形节径 D_o 的精确度是决定所有钢珠能否完全放入槽内的唯一尺寸。在加工时若将节径 D_o 磨大了，当所有的钢珠放入槽内后会出现间隙（图 16 a）；当把节径 D_o 磨得过小，最后一个钢珠就不能完全放入槽内（图 16 b）。因此，在精磨蜗轮盘上的圆弧槽

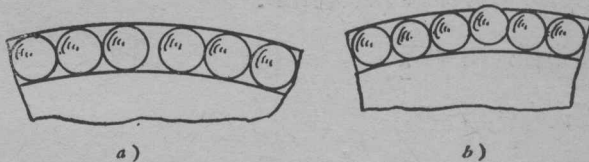


图 16

形时，要进行多次试磨，不能直接磨到规定的槽形深度。为了便于鉴别钢珠放入槽内后是否有间隙存在，在磨削加工时，蜗轮盘轴线应通过工具使其与垂直方向倾斜一个微小的角度（图 17）。

槽形圆弧尺寸是靠修磨圆弧成形砂轮来保证的。砂轮的极限外径 D_o 应小于计算所得的数值

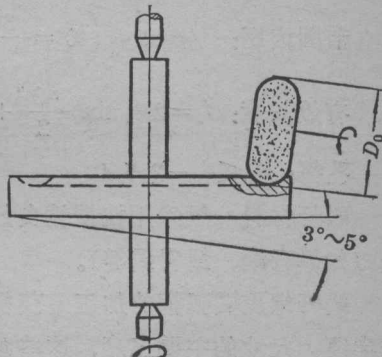


图 17